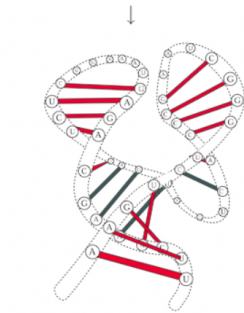
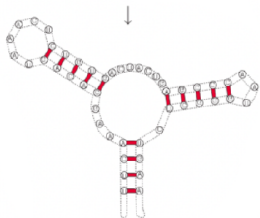


# Niveles de Estructura del Ácido Ribonucleico (ARN)

## Estructura primaria

- Secuencia lineal de nucleótidos unidos por enlaces fosfodiéster (puente químico).
- Compuesta por las bases nitrogenadas adenina (A), guanina (G), citosina (C) y uracilo (U).
- Define la información que porta la molécula.

AAGUCUGGGCUAAGCCCACUGAUGAGUCUCUGAAUAGAGACGAAACUU



# Niveles de Estructura del Ácido Ribonucleico (ARN)

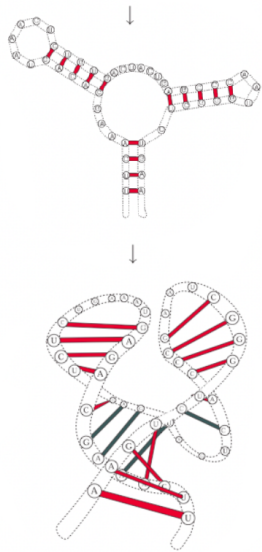
## Estructura primaria

- Secuencia lineal de nucleótidos unidos por enlaces fosfodiéster (puente químico).
- Compuesta por las bases nitrogenadas adenina (A), guanina (G), citosina (C) y uracilo (U).
- Define la información que porta la molécula.

## Estructura secundaria

- Disposición local de la cadena simple mediante apareamientos de bases complementarias.
- Forma estructuras como horquillas, bucles y tallos, que estabilizan la molécula.

AAGUCUGGGCUAAGCCCACUGAUGAGUCUCGAAUAGAGACGAAACUU



# Niveles de Estructura del Ácido Ribonucleico (ARN)

## Estructura primaria

- Secuencia lineal de nucleótidos unidos por enlaces fosfodiéster (puente químico).
- Compuesta por las bases nitrogenadas adenina (A), guanina (G), citosina (C) y uracilo (U).
- Define la información que porta la molécula.

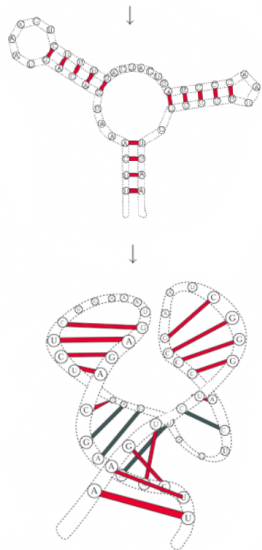
## Estructura secundaria

- Disposición local de la cadena simple mediante apareamientos de bases complementarias.
- Forma estructuras como horquillas, bucles y tallos, que estabilizan la molécula.

## Estructura terciaria

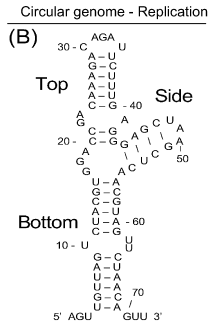
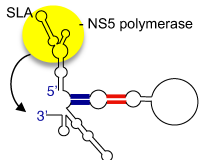
- Plegamiento tridimensional de la molécula completa, resultado de interacciones entre regiones distantes.
- Permite la formación de formas funcionales complejas.

AAGUCUGGGCUAAGCCCACUGAUGAGUCUCUGAAUAGAGACGAAACUU



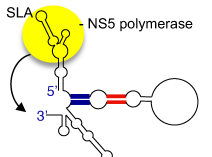
# Contexto y Relevancia: La Estructura Stem-Loop A(SLA)

- En virus como el del Dengue, el ARN se pliega en estructuras funcionales. Una de las más importantes es el **Stem-Loop A (SLA)**.
- **¿Por qué es crucial?** Actúa como un promotor **indispensable** para la replicación del virus al interactuar con la proteína no estructural 5 (non-structural protein 5 -NS5).
- **La clave del problema:** Su función depende de su **estructura 3D**, no de la secuencia exacta de nucleótidos.
- **El desafío:** Las secuencias de ARN que contienen SLA tienen diferentes longitudes ('L'), que en nuestro caso varían entre 70-90 nucleótidos. Los algoritmos de clasificación clásicos requieren entradas de tamaño fijo.



# Contexto y Relevancia: La Estructura Stem-Loop A(SLA)

- En virus como el del Dengue, el ARN se pliega en estructuras funcionales. Una de las más importantes es el **Stem-Loop A (SLA)**.
- **¿Por qué es crucial?** Actúa como un promotor **indispensable** para la replicación del virus al interactuar con la proteína no estructural 5 (non-structural protein 5 -NS5).
- **La clave del problema:** Su función depende de su **estructura 3D**, no de la secuencia exacta de nucleótidos.
- **El desafío:** Las secuencias de ARN que contienen SLA tienen diferentes longitudes ('L'), que en nuestro caso varían entre 70-90 nucleótidos. Los algoritmos de clasificación clásicos requieren entradas de tamaño fijo.



Circular genome - Replication

(B)

Top Side  
30 - C AGA U  
A - U G - C  
A - U A - U  
A - U C - G - 40  
C - G A G C U A  
C - G A G C U A  
A G C U G A G A  
G A C U G A G A  
U - A G - C  
C - G A - U  
A - U U - A - 60  
C - G U  
10 - U G - C  
A - U U - A  
U - A U - A  
G - C U - A  
U - A / GUU 3'  
Bottom

## Objetivo del Proyecto

Detectar si una secuencia de ARN puede adoptar esta estructura SLA es clave para el desarrollo de nuevas terapias antivirales.

# Pregunta central

## El Enfoque Tradicional y sus Límites

- El método clásico es la **predicción de estructura secundaria**, usando herramientas como 'Mfold' o 'ViennaRNA'.
  - *¿Cómo funcionan?* Se basan en **métodos termodinámicos**: busca la estructura más estable minimizando la energía libre.

# Pregunta central

## El Enfoque Tradicional y sus Límites

- El método clásico es la **predicción de estructura secundaria**, usando herramientas como 'Mfold' o 'ViennaRNA'.
  - *¿Cómo funcionan?* Se basan en **métodos termodinámicos**: busca la estructura más estable minimizando la energía libre.
- **Limitaciones:** Es un proceso computacionalmente costoso y con dificultades para modelar estructuras complejas.

# Pregunta central

## El Enfoque Tradicional y sus Límites

- El método clásico es la **predicción de estructura secundaria**, usando herramientas como 'Mfold' o 'ViennaRNA'.
  - *¿Cómo funcionan?* Se basan en **métodos termodinámicos**: busca la estructura más estable minimizando la energía libre.
- **Limitaciones:** Es un proceso computacionalmente costoso y con dificultades para modelar estructuras complejas.

## La Pregunta Central

¿Podemos determinar la presencia de **SLA** directamente desde la secuencia (estructura primaria), **sin reconstruir explícitamente** la estructura?

# Aparición de modelos fundacionales

- Inspirados en el éxito de los LLMs en el lenguaje natural (ej. BERT, GPT), han surgido **Modelos Fundacionales Biológicos**.
- Se pre-entrenan en corpus masivos de secuencias de ADN, ARN o proteínas.
- **Objetivo:** Aprender representaciones numéricas (*embeddings*) que capturen la 'gramática' y la 'semántica' del lenguaje biológico.
- Estas representaciones contienen información sobre la estructura y la función de forma **implícita**.

# RNA-FM (explicación técnica y por qué usarlo)

- Es un modelo de lenguaje basado en la arquitectura **Transformer-Encoder (BERT)**.
- Pre-entrenado con Modelado de Lenguaje Enmascarado (MLM) **auto-supervisado**, a partir de la base de datos **RNAcentral** (23.7 millones de secuencias de ARN no codificante).
- **Tarea:** El modelo aprende a predecir nucleótidos faltantes basándose en su contexto.
- **Resultado:** Genera un vector de **640 dimensiones** para cada nucleótido logrando representar no solo la secuencia sino la estructura de la molécula.

# RNA-FM (explicación técnica y por qué usarlo)

- Es un modelo de lenguaje basado en la arquitectura **Transformer-Encoder (BERT)**.
- Pre-entrenado con Modelado de Lenguaje Enmascarado (MLM) **auto-supervisado**, a partir de la base de datos **RNAcentral** (23.7 millones de secuencias de ARN no codificante).
- **Tarea:** El modelo aprende a predecir nucleótidos faltantes basándose en su contexto.
- **Resultado:** Genera un vector de **640 dimensiones** para cada nucleótido logrando representar no solo la secuencia sino la estructura de la molécula.

## ¿Por qué RNA-FM para este proyecto?

Es una herramienta que nos proporciona la representación numérica con información estructural del ARN.

# Idea central: de secuencia a imagen

## Hipótesis del Proyecto

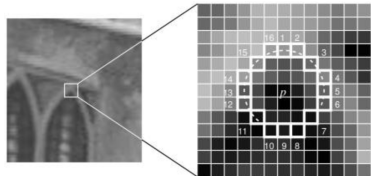
Dado que **RNA-FM** genera embeddings con información estructural implícita, al normalizar los valores resultantes podemos tratar estos embeddings de longitud variable como **imágenes** para luego aplicar una secuencia de métodos de **visión por computadora** y así extraer un vector de características de longitud fija, resolviendo el desafío técnico que representa longitud variable de las secuencias ('L') y permitiendo la clasificación con métodos tradicionales.

# Detector FAST: Features from Accelerated Segment Test

Detección de 'esquinas' de alta velocidad

## Mecanismo:

1. Se selecciona un píxel candidato  $p$ .
2. Se examinan los 16 píxeles en un círculo de radio 3 a su alrededor.
3. Si existen  $N$  píxeles *consecutivos* que cumplen la condición (ej.  $N = 9$ ),  $p$  es marcado como keypoint.

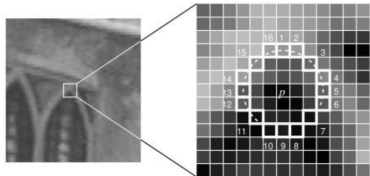


# Detector FAST: Features from Accelerated Segment Test

Detección de 'esquinas' de alta velocidad

## Mecanismo:

1. Se selecciona un píxel candidato  $p$ .
2. Se examinan los 16 píxeles en un círculo de radio 3 a su alrededor.
3. Si existen  $N$  píxeles *consecutivos* que cumplen la condición (ej.  $N = 9$ ),  $p$  es marcado como keypoint.



## Ventaja Principal

Es órdenes de magnitud más rápido que otros métodos, ya que solo realiza comparaciones de intensidad simples.

# Herramientas (2/3): El estándar SIFT (1/2)

## Paso 1: Espacio Escala Gaussiano

- Se aplica una serie de filtros Gaussianos ( $G_\sigma$ ) con desenfoque creciente para crear diferentes ".octavas" de imágenes.
- Dentro de cada octava, se reduce la resolución (subsampling) para construir una pirámide de imágenes.
- **Objetivo:** Detectar características de interés sin importar su tamaño (escala) en la imagen original.

# Herramientas (2/3): El estándar SIFT (1/2)

## Paso 1: Espacio Escala Gaussiano

- Se aplica una serie de filtros Gaussianos ( $G_\sigma$ ) con desenfoque creciente para crear diferentes ".octavas" de imágenes.
- Dentro de cada octava, se reduce la resolución (subsampling) para construir una pirámide de imágenes.
- **Objetivo:** Detectar características de interés sin importar su tamaño (escala) en la imagen original.

## Paso 2: Detección de Keypoints (Puntos Clave)

- Se calculan las "Diferencias de Gaussianas" (DoG) restando imágenes consecutivas en la pirámide de escala.
- Los keypoints se localizan como máximos/mínimos locales en esta pirámide DoG, comparando cada píxel con sus 26 vecinos (en el espacio 3D).
- **Objetivo:** Encontrar puntos estables y distintivos que puedan ser localizados de forma fiable en diferentes escalas.

## Herramientas (2/3): El estándar SIFT (2/2)

### Paso 3: Asignación de Orientación

- Para cada keypoint, se calcula la dirección y magnitud del gradiente en una ventana a su alrededor (16x16 píxeles).
- Se crea un histograma de orientaciones (36 bins). La orientación dominante del keypoint es el pico más alto de este histograma.

## Herramientas (2/3): El estándar SIFT (2/2)

### Paso 3: Asignación de Orientación

- Para cada keypoint, se calcula la dirección y magnitud del gradiente en una ventana a su alrededor ( $16 \times 16$  píxeles).
- Se crea un histograma de orientaciones (36 bins). La orientación dominante del keypoint es el pico más alto de este histograma.

### Paso 4: Creación del Descriptor

- Se toma una ventana de  $16 \times 16$  alrededor del keypoint y se rota según su orientación dominante.
- Esta ventana se divide en una cuadrícula de  $4 \times 4$  subregiones. Para cada una, se crea un histograma de 8 orientaciones.
- Se concatenan los 16 histogramas para formar un vector de 128 dimensiones ( $16$  regiones  $\times$  8 orientaciones), su "huella digital".

## Herramientas (2/3): El estándar SIFT (2/2)

### Paso 3: Asignación de Orientación

- Para cada keypoint, se calcula la dirección y magnitud del gradiente en una ventana a su alrededor ( $16 \times 16$  píxeles).
- Se crea un histograma de orientaciones (36 bins). La orientación dominante del keypoint es el pico más alto de este histograma.

### Paso 4: Creación del Descriptor

- Se toma una ventana de  $16 \times 16$  alrededor del keypoint y se rota según su orientación dominante.
- Esta ventana se divide en una cuadrícula de  $4 \times 4$  subregiones. Para cada una, se crea un histograma de 8 orientaciones.
- Se concatenan los 16 histogramas para formar un vector de 128 dimensiones ( $16$  regiones  $\times$  8 orientaciones), su "huella digital".

### Conclusión

SIFT es extremadamente **robusto** pero computacionalmente **intensivo**. Su resultado es un conjunto de descriptores invariantes a escala, rotación, traslación y cambios de iluminación.

# BRIEF: Binary Robust Independent Elementary Features

## Identificador Binario

Para esto se construye un vector de bits basado en simples comparaciones de intensidad entre pares de píxeles.

### Mecanismo:

1. Se aplica un filtro Gaussiano a la imagen para reducir el ruido.
2. Se define un conjunto de  $n_d$  pares de píxeles  $(p_1, p_2)$  en una ventana alrededor del keypoint.
3. Para cada par, se realiza el test:

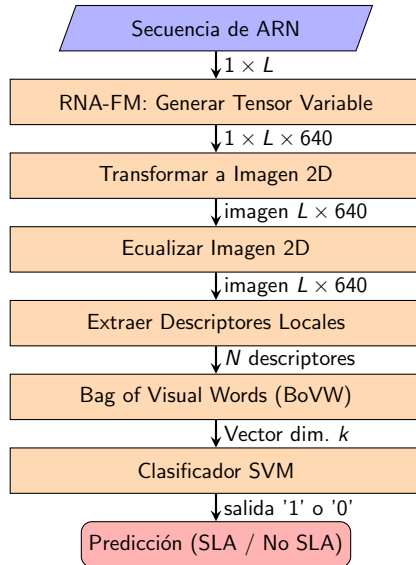
$$\tau(p_1, p_2) := \begin{cases} 1 & \text{si } I(p_1) < I(p_2), \\ 0 & \text{en otro caso.} \end{cases}$$

4. El descriptor es el vector binario de  $n_d$  bits resultante (por ejemplo, 256 bits).

(+) El almacenamiento y la comparación (distancia de Hamming) son extremadamente rápidos.

(-) No es inherentemente invariante a la rotación (aunque en nuestro caso no es un problema).

# Diagrama de la secuencia de métodos



# Un Ejemplo Paso a Paso

**1. Entrada:** Una secuencia de ARN ( $1 \times L$ ).

A G U C A G U ...

---

# Un Ejemplo Paso a Paso

**1. Entrada:** Una secuencia de ARN ( $1 \times L$ ).

A G U C A G U...

---

**2. Embedding:** Del RNA-FM obtenemos una matriz de reales ( $L \times 640$ ).

$$\begin{pmatrix} 0,12 & -0,45 & \dots & 0,88 \\ -0,91 & 0,03 & \dots & -0,21 \\ \vdots & \vdots & \ddots & \vdots \end{pmatrix}$$

---

# Un Ejemplo Paso a Paso

**1. Entrada:** Una secuencia de ARN ( $1 \times L$ ).

A G U C A G U...

---

**2. Embedding:** Del RNA-FM obtenemos una matriz de reales ( $L \times 640$ ).

$$\begin{pmatrix} 0,12 & -0,45 & \dots & 0,88 \\ -0,91 & 0,03 & \dots & -0,21 \\ \vdots & \vdots & \ddots & \vdots \end{pmatrix}$$

---

**3. Imagen + Ecualización:** Los valores de la matriz se normalizan entre 0 y 255 para obtener una imagen en escala de grises que luego se ecualiza.



# Un Ejemplo Paso a Paso

**1. Entrada:** Una secuencia de ARN ( $1 \times L$ ).

A G U C A G U...

---

**2. Embedding:** Del RNA-FM obtenemos una matriz de reales ( $L \times 640$ ).

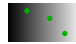
$$\begin{pmatrix} 0,12 & -0,45 & \dots & 0,88 \\ -0,91 & 0,03 & \dots & -0,21 \\ \vdots & \vdots & \ddots & \vdots \end{pmatrix}$$

---

**3. Imagen + Ecualización:** Los valores de la matriz se normalizan entre 0 y 255 para obtener una imagen en escala de grises que luego se ecualiza.



**4. Descriptores:** Se extraen puntos clave (keypoints) y se generan descriptores.



# Un Ejemplo Paso a Paso

- 1. Entrada:** Una secuencia de ARN ( $1 \times L$ ).

A G U C A G U...

---

- 2. Embedding:** Del RNA-FM obtenemos una matriz de reales ( $L \times 640$ ).

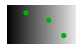
$$\begin{pmatrix} 0,12 & -0,45 & \dots & 0,88 \\ -0,91 & 0,03 & \dots & -0,21 \\ \vdots & \vdots & \ddots & \vdots \end{pmatrix}$$

---

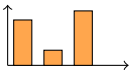
- 3. Imagen + Ecualización:** Los valores de la matriz se normalizan entre 0 y 255 para obtener una imagen en escala de grises que luego se ecualiza.



- 4. Descriptores:** Se extraen puntos clave (keypoints) y se generan descriptores.



- 5. Vector Fijo:** Se crea un vector-histograma con BoVW.



# Un Ejemplo Paso a Paso

**1. Entrada:** Una secuencia de ARN ( $1 \times L$ ).

A G U C A G U...

---

**2. Embedding:** Del RNA-FM obtenemos una matriz de reales ( $L \times 640$ ).

$$\begin{pmatrix} 0,12 & -0,45 & \dots & 0,88 \\ -0,91 & 0,03 & \dots & -0,21 \\ \vdots & \vdots & \ddots & \vdots \end{pmatrix}$$

---

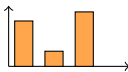
**3. Imagen + Ecualización:** Los valores de la matriz se normalizan entre 0 y 255 para obtener una imagen en escala de grises que luego se ecualiza.



**4. Descriptores:** Se extraen puntos clave (keypoints) y se generan descriptores.



**5. Vector Fijo:** Se crea un vector-histograma con BoVW.



**6. Predicción:** El clasificador SVM da un resultado (SLA/no-SLA).



# Nuestro Dataset en Detalle

## 1. Características Generales

- Origen:** Secuencias de ARN de flavivirus, compiladas y etiquetadas por el laboratorio de virología de la UNAHUR.
- Dataset Final:** 594 secuencias únicas tras el proceso de limpieza.
- División (Split):** Se utilizó un 80 % (475) para entrenamiento y un 20 % (119) para prueba.

## 2. Distribución de Clases

- 274 Positivas (SLA)
- 320 Negativas (No SLA)



El dataset está razonablemente balanceado.

# Paso 1: Generación de embeddings con RNA-FM

Todo comienza con una secuencia de nucleótidos.

GUGUCAGUAUGAACAGGUAGAAAAAAGGACAGGU...

Cada secuencia de longitud 'L' se convierte con **RNA-FM** en un tensor de '1 x L x 640'.

- '1': Lote de una secuencia.
- 'L': Longitud variable de la secuencia.
- '640': Dimensiones del embedding por cada nucleótido.

# Paso 1: Generación de embeddings con RNA-FM

Todo comienza con una secuencia de nucleótidos.

GUGUCAGUAUGAACAGGUAGAAAAAAGGACAGGU...

Cada secuencia de longitud 'L' se convierte con **RNA-FM** en un tensor de '1 x L x 640'.

- '1': Lote de una secuencia.
- 'L': Longitud variable de la secuencia.
- '640': Dimensiones del embedding por cada nucleótido.

## Conversión a Matriz Visual

- El tensor se reinterpreta como una matriz de 'L x 640' de números reales.

$$\begin{pmatrix} 0,12 & -0,45 & \dots & 0,88 \\ -0,91 & 0,03 & \dots & -0,21 \\ \vdots & \vdots & \ddots & \vdots \end{pmatrix}$$

## Paso 2: Conversión a Imagen (1/2)

La matriz obtenida en el paso anterior se normaliza con valores entre 0 y 255 y se visualiza como una imagen.

## Paso 2: Conversión a Imagen (1/2)

La matriz obtenida en el paso anterior se normaliza con valores entre 0 y 255 y se visualiza como una imagen.

Dicha normalización se efectuó de dos formas

- **Normalización Local:** Se lleva a cabo tomando el mínimo y máximo de cada imagen
- **Normalización Global:** Se realizó tomando el valor máximo y mínimo de todos los embeddings de los datos de entrenamiento generados por RNA-FM.

## Paso 2: Conversión a Imagen (1/2)

La matriz obtenida en el paso anterior se normaliza con valores entre 0 y 255 y se visualiza como una imagen.

Dicha normalización se efectuó de dos formas

- **Normalización Local:** Se lleva a cabo tomando el mínimo y máximo de cada imagen
- **Normalización Global:** Se realizó tomando el valor máximo y mínimo de todos los embeddings de los datos de entrenamiento generados por RNA-FM.

**Imagen Inicial**



## Paso 2: Conversión a Imagen (1/2)

La matriz obtenida en el paso anterior se normaliza con valores entre 0 y 255 y se visualiza como una imagen.

Dicha normalización se efectuó de dos formas

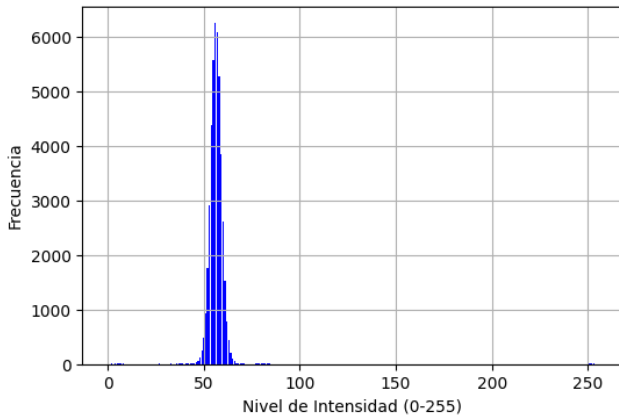
- **Normalización Local:** Se lleva a cabo tomando el mínimo y máximo de cada imagen
- **Normalización Global:** Se realizó tomando el valor máximo y mínimo de todos los embeddings de los datos de entrenamiento generados por RNA-FM.

**Imagen Inicial**



**Problema:** Bajo contraste.

## Paso 2: Conversión a Imagen (2/2)



Histograma de intensidades concentradas

Problema: La mayoría de los píxeles tienen intensidades bajas, concentradas en un rango estrecho  $\Rightarrow$  imagen apagada.

## Paso 3: Ecualización del histograma (1/2)

¿Qué es la ecualización del histograma?

## Paso 3: Ecualización del histograma (1/2)

### ¿Qué es la ecualización del histograma?

- **Objetivo:** Redistribuir los niveles de gris para mejorar el contraste.

## Paso 3: Ecualización del histograma (1/2)

### ¿Qué es la ecualización del histograma?

- **Objetivo:** Redistribuir los niveles de gris para mejorar el contraste.

#### 1. Cálculo de la probabilidad de intensidad:

$$p(r_j) = \frac{n_j}{n}; \text{ Donde:}$$

- $n_j$ : número de píxeles con intensidad  $r_j$
- $n$ : número total de píxeles en la imagen

## Paso 3: Ecualización del histograma (1/2)

### ¿Qué es la ecualización del histograma?

- **Objetivo:** Redistribuir los niveles de gris para mejorar el contraste.

#### 1. Cálculo de la probabilidad de intensidad:

$$p(r_j) = \frac{n_j}{n}; \text{ Donde:}$$

- $n_j$ : número de píxeles con intensidad  $r_j$
- $n$ : número total de píxeles en la imagen

⇒ Esto representa una **frecuencia relativa**, base del histograma normalizado.

## Paso 3: Ecualización del histograma (1/2)

### ¿Qué es la ecualización del histograma?

- **Objetivo:** Redistribuir los niveles de gris para mejorar el contraste.

#### 1. Cálculo de la probabilidad de intensidad:

$$p(r_j) = \frac{n_j}{n}; \text{ Donde:}$$

- $n_j$ : número de píxeles con intensidad  $r_j$

- $n$ : número total de píxeles en la imagen

⇒ Esto representa una **frecuencia relativa**, base del histograma normalizado.

#### 2. Cálculo de la función de distribución acumulada (CDF):

$$s_i = \sum_{j=0}^i p(r_j)$$

La CDF indica la acumulación progresiva de probabilidades hasta el nivel  $i$ .

## Paso 3: Ecualización del histograma (1/2)

### ¿Qué es la ecualización del histograma?

- **Objetivo:** Redistribuir los niveles de gris para mejorar el contraste.

#### 1. Cálculo de la probabilidad de intensidad:

$$p(r_j) = \frac{n_j}{n}; \text{ Donde:}$$

- $n_j$ : número de píxeles con intensidad  $r_j$

- $n$ : número total de píxeles en la imagen

⇒ Esto representa una **frecuencia relativa**, base del histograma normalizado.

#### 2. Cálculo de la función de distribución acumulada (CDF):

$$s_i = \sum_{j=0}^i p(r_j)$$

La CDF indica la acumulación progresiva de probabilidades hasta el nivel  $i$ .

#### 3. Transformación del nivel de gris:

$$s'_i = (L - 1) \cdot s_i$$

Con  $L = 256$ , se reescaliza al rango completo de niveles [0–255].

## Paso 3: Ecualización del histograma (1/2)

### ¿Qué es la ecualización del histograma?

- **Objetivo:** Redistribuir los niveles de gris para mejorar el contraste.

#### 1. Cálculo de la probabilidad de intensidad:

$$p(r_j) = \frac{n_j}{n}; \text{ Donde:}$$

- $n_j$ : número de píxeles con intensidad  $r_j$

- $n$ : número total de píxeles en la imagen

⇒ Esto representa una **frecuencia relativa**, base del histograma normalizado.

#### 2. Cálculo de la función de distribución acumulada (CDF):

$$s_i = \sum_{j=0}^i p(r_j)$$

La CDF indica la acumulación progresiva de probabilidades hasta el nivel  $i$ .

#### 3. Transformación del nivel de gris:

$$s'_i = (L - 1) \cdot s_i$$

Con  $L = 256$ , se reescalía al rango completo de niveles [0–255].

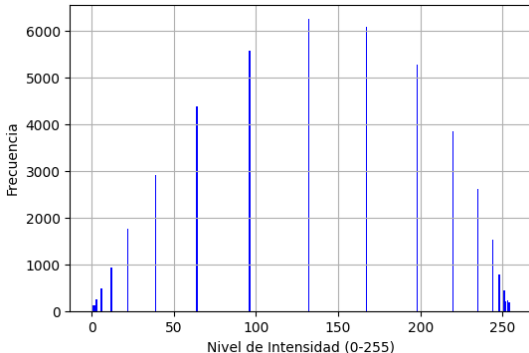
4. Resultado: Niveles de gris más dispersos ⇒ mayor contraste y detalles visibles.

## Paso 3: Ecualización del histograma (2/2)

Imagen después de ecualizar



Mejora significativa en el contraste



Histograma redistribuido en todo el rango [0, 255]

## Paso 4: Detección y Descripción de Características

### 1. Detección de Puntos Clave

- Un **detector** examina la imagen en busca de 'esquinas' o regiones con alto contenido informativo como se muestra en la figura, en este caso, el detector FAST genera 3620 keypoints que se muestran en verde.
- Genera un conjunto de coordenadas  $(x, y)$ .



## Paso 4: Detección y Descripción de Características

### 1. Detección de Puntos Clave

- Un **detector** examina la imagen en busca de 'esquinas' o regiones con alto contenido informativo como se muestra en la figura, en este caso, el detector FAST genera 3620 keypoints que se muestran en verde.
- Genera un conjunto de coordenadas  $(x, y)$ .

### 2. Descripción de Características

- Para cada punto, un **descriptor** crea una 'firma' numérica (vector) cuya longitud depende del método empleado y que captura la apariencia local del respectivo keypoint.



## Paso 4: Detección y Descripción de Características

### 1. Detección de Puntos Clave

- Un **detector** examina la imagen en busca de 'esquinas' o regiones con alto contenido informativo como se muestra en la figura, en este caso, el detector FAST genera 3620 keypoints que se muestran en verde.
- Genera un conjunto de coordenadas  $(x, y)$ .

### 2. Descripción de Características

- Para cada punto, un **descriptor** crea una 'firma' numérica (vector) cuya longitud depende del método empleado y que captura la apariencia local del respectivo keypoint.



### Nuevo Desafío

Cada imagen ahora tiene un **número variable** de descriptores. ¿Cómo podemos usar esto como entrada para un clasificador que requiere un vector de tamaño fijo?

## Paso 5: La Solución - Bag of Visual Words (BoVW)

### El Problema a Resolver

Cada imagen tiene un número **variable** de descriptores. Necesitamos una representación de **longitud fija ( $k$ )** para el clasificador.

# Paso 5: La Solución - Bag of Visual Words (BoVW)

## El Problema a Resolver

Cada imagen tiene un número **variable** de descriptores. Necesitamos una representación de **longitud fija (k)** para el clasificador.

### La Analogía: 'Bolsa de Palabras' en Texto

- Imagina analizar un documento.
- No importa el orden de las palabras, solo **cuántas veces** aparece cada una.
- **Diccionario:** ['ARN', 'virus', ...]
- **Vector:** [5 veces, 3 veces, ...]

### Nuestra Adaptación: 'Bolsa de Palabras Visuales'

- Nuestras 'palabras' son las características locales.
- Crearemos un **diccionario** de estas 'palabras visuales'.
- El resultado será un **histograma** de frecuencias.

# Paso 5: La Solución - Bag of Visual Words (BoVW)

## El Problema a Resolver

Cada imagen tiene un número **variable** de descriptores. Necesitamos una representación de **longitud fija (k)** para el clasificador.

### La Analogía: 'Bolsa de Palabras' en Texto

- Imagina analizar un documento.
- No importa el orden de las palabras, solo **cuántas veces** aparece cada una.
- **Diccionario:** ['ARN', 'virus', ...]
- **Vector:** [5 veces, 3 veces, ...]

### Nuestra Adaptación: 'Bolsa de Palabras Visuales'

- Nuestras 'palabras' son las características locales.
- Crearemos un **diccionario** de estas 'palabras visuales'.
- El resultado será un **histograma** de frecuencias.

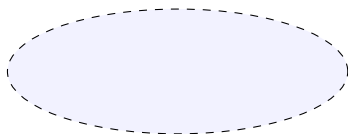
El Proceso Completo tiene dos fases:

**Fase 1 (Entrenamiento):** Construir el vocabulario visual.

**Fase 2 (Inferencia):** Codificar una nueva imagen usando ese vocabulario.

# BoVW - Fase 1: Construcción del Vocabulario (Entrenamiento)

## Imágenes de Entrenamiento

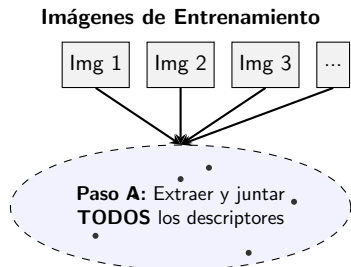


Algoritmo de Clus-  
tering (K-Means)

**Paso C:** Los centroides son...

Vocabulario Visual

# BoVW - Fase 1: Construcción del Vocabulario (Entrenamiento)



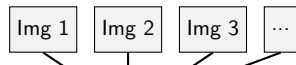
Algoritmo de Clustering (K-Means)

Paso C: Los centroides son...

Vocabulario Visual

# BoVW - Fase 1: Construcción del Vocabulario (Entrenamiento)

## Imágenes de Entrenamiento



**Paso A:** Extraer y juntar  
TODOS los descriptores

**Paso B:** Se define 'k' y agrupamos en k centroides

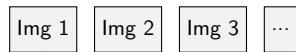
Algoritmo de Clustering (K-Means)

**Paso C:** Los centroides son...

Vocabulario Visual

# BoVW - Fase 1: Construcción del Vocabulario (Entrenamiento)

## Imágenes de Entrenamiento



Paso A: Extraer y juntar  
TODOS los descriptores

Paso B: Se define 'k' y agrupamos en k centroides

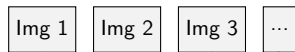
Algoritmo de Clustering (K-Means)

Paso C: Los centroides son...



# BoVW - Fase 1: Construcción del Vocabulario (Entrenamiento)

## Imágenes de Entrenamiento



Paso A: Extraer y juntar  
TODOS los descriptores

Paso B: Se define 'k' y agrupamos en k centroides

Algoritmo de Clustering (K-Means)

Paso C: Los centroides son...



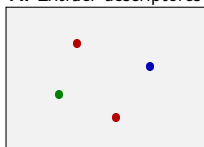
## Resultado de la Fase 1

Un 'diccionario' con  $k$  palabras visuales o centroides que representan las características más comunes. **Este proceso se realiza una sola vez.**

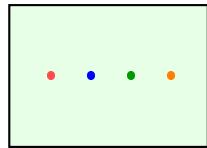
# BoVW - Fase 2: Codificación de una Nueva Imagen (Inferencia)

## Nueva Imagen

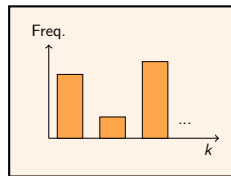
A: Extraer descriptoros



B: Para cada descriptor, encontrar el centroide más cercano (cuantización).



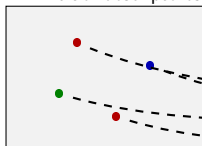
C: Contar, normalizar (L2) y crear histograma



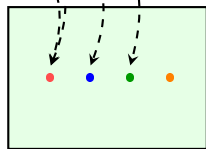
# BoVW - Fase 2: Codificación de una Nueva Imagen (Inferencia)

## Nueva Imagen

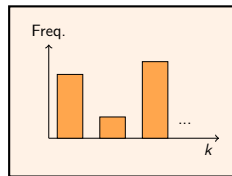
A: Extraer descriptores



B: Para cada descriptor, encontrar el centroide más cercano (cuantización).



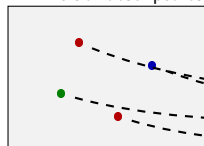
C: Contar, normalizar (L2) y crear histograma



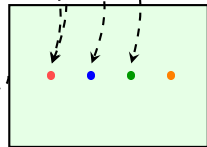
# BoVW - Fase 2: Codificación de una Nueva Imagen (Inferencia)

## Nueva Imagen

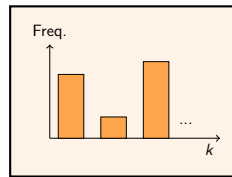
A: Extraer descriptor



B: Para cada descriptor, encontrar el centroide más cercano (cuantización).

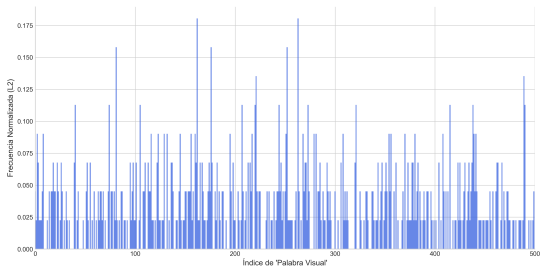


C: Contar, normalizar (L2) y crear histograma



# BoVW - El Resultado Final: Un Vector de Características

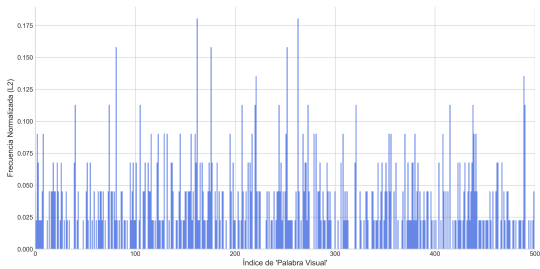
El histograma es la representación final de la imagen



- **Longitud Fija:** Este vector siempre tiene la misma longitud ( $k=500$ ), sin importar el tamaño de la imagen original ni la cantidad de descriptores que surjan de la misma.
- **Informativo:** La distribución de las barras captura la composición de la imagen.
- **Listo para Clasificar:** Este es el vector que se le entrega al clasificador SVM.

# BoVW - El Resultado Final: Un Vector de Características

El histograma es la representación final de la imagen



- **Longitud Fija:** Este vector siempre tiene la misma longitud ( $k=500$ ), sin importar el tamaño de la imagen original ni la cantidad de descriptores que surjan de la misma.
- **Informativo:** La distribución de las barras captura la composición de la imagen.
- **Listo para Clasificar:** Este es el vector que se le entrega al clasificador SVM.

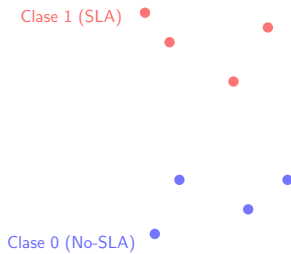
## Conclusión

BoVW ha transformado con éxito un problema de **datos no estructurados de longitud variable** en un problema de **clasificación de vectores de longitud fija**.

## Paso 6: Clasificación con Support Vector Machine (SVM)

### Objetivo: Encontrar el Hiperplano Óptimo

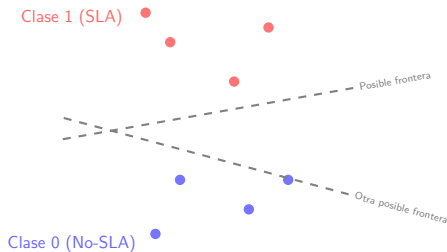
Una vez que tenemos nuestro vector de características de longitud fija, necesitamos un clasificador que decida si pertenece a la clase *SLA* (1) o *No-SLA* (0). SVM busca el **hiperplano de decisión** que maximiza el margen entre las dos clases.



## Paso 6: Clasificación con Support Vector Machine (SVM)

### Objetivo: Encontrar el Hiperplano Óptimo

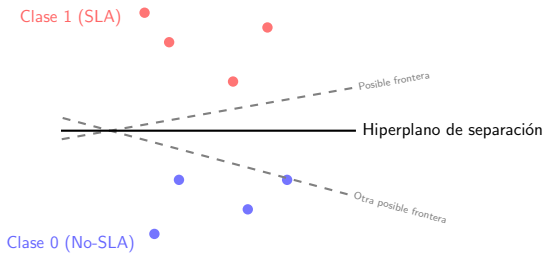
Una vez que tenemos nuestro vector de características de longitud fija, necesitamos un clasificador que decida si pertenece a la clase *SLA* (1) o *No-SLA* (0). SVM busca el **hiperplano de decisión** que maximiza el margen entre las dos clases.



## Paso 6: Clasificación con Support Vector Machine (SVM)

### Objetivo: Encontrar el Hiperplano Óptimo

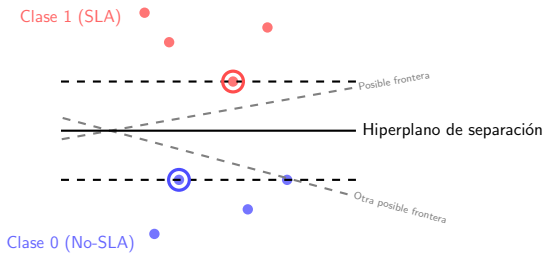
Una vez que tenemos nuestro vector de características de longitud fija, necesitamos un clasificador que decida si pertenece a la clase *SLA* (1) o *No-SLA* (0). SVM busca el **hiperplano de decisión** que maximiza el margen entre las dos clases.



## Paso 6: Clasificación con Support Vector Machine (SVM)

### Objetivo: Encontrar el Hiperplano Óptimo

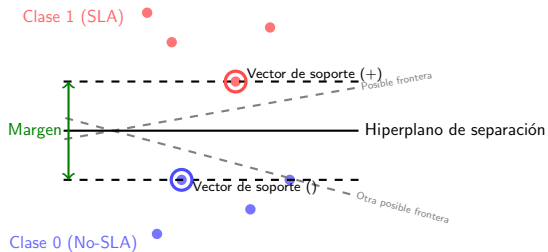
Una vez que tenemos nuestro vector de características de longitud fija, necesitamos un clasificador que decida si pertenece a la clase *SLA* (1) o *No-SLA* (0). SVM busca el **hiperplano de decisión** que maximiza el margen entre las dos clases.



## Paso 6: Clasificación con Support Vector Machine (SVM)

### Objetivo: Encontrar el Hiperplano Óptimo

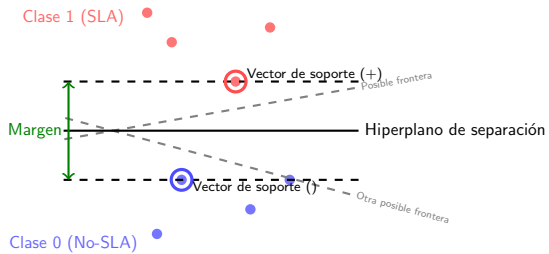
Una vez que tenemos nuestro vector de características de longitud fija, necesitamos un clasificador que decida si pertenece a la clase *SLA* (1) o *No-SLA* (0). SVM busca el **hiperplano de decisión** que maximiza el margen entre las dos clases.



## Paso 6: Clasificación con Support Vector Machine (SVM)

### Objetivo: Encontrar el Hiperplano Óptimo

Una vez que tenemos nuestro vector de características de longitud fija, necesitamos un clasificador que decida si pertenece a la clase *SLA* (1) o *No-SLA* (0). SVM busca el **hiperplano de decisión** que maximiza el margen entre las dos clases.



### Idea clave de SVM

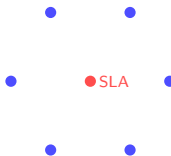
El **hiperplano óptimo** es el que maximiza la distancia (margen) entre las rectas paralelas que pasan por los vectores de soporte; esos vectores son exactamente los puntos más cercanos al hiperplano en el caso lineal separable.

# SVM: El 'Truco del Kernel' para Datos no Lineales

## El Problema

¿Qué pasa si los datos no se  
pueden separar con una línea recta?

No-SLA

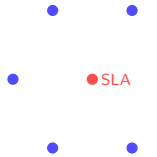


# SVM: El 'Truco del Kernel' para Datos no Lineales

## El Problema

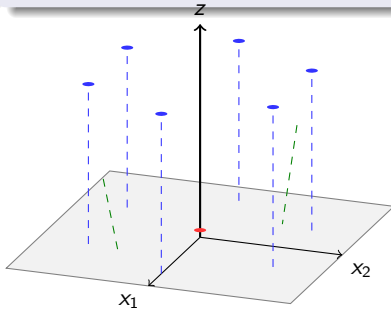
¿Qué pasa si los datos no se  
pueden separar con una línea recta?

No-SLA



## En 3D

Se proyecta los datos a  $R^3$  aplicando  
 $\varphi(x_1, x_2) = (x_1, x_2, z)$  donde  $z = x_1^2 + x_2^2$

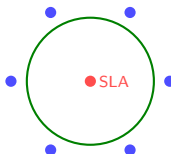


# SVM: El 'Truco del Kernel' para Datos no Lineales

## El Problema

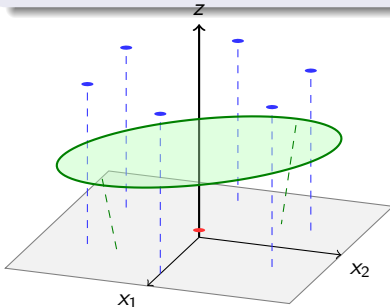
¿Qué pasa si los datos no se  
pueden separar con una línea recta?

No-SLA



## En 3D

Se proyecta los datos a  $R^3$  aplicando  
 $\varphi(x_1, x_2) = (x_1, x_2, z)$  donde  $z = x_1^2 + x_2^2$

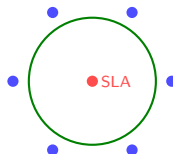


# SVM: El 'Truco del Kernel' para Datos no Lineales

## El Problema

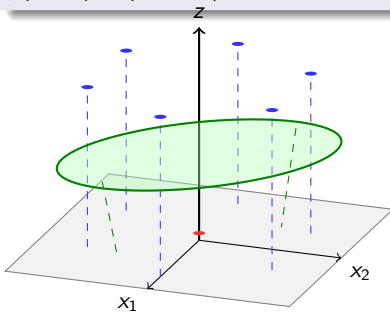
¿Qué pasa si los datos no se pueden separar con una línea recta?

No-SLA



## En 3D

Se proyecta los datos a  $R^3$  aplicando  $\varphi(x_1, x_2) = (x_1, x_2, z)$  donde  $z = x_1^2 + x_2^2$



## El 'Truco'

El **Kernel RBF** de SVM realiza esta separación proyectando a  $R^2$  la intersección entre el hiperplano y el paraboloide formado por la función  $z = x_1^2 + x_2^2$  **sin tener que calcular explícitamente** las coordenadas en la nueva dimensión, bajando el costo computacional.

# ¿Por Qué SVM es una Elección Ideal para Este Proyecto?

## 1. Efectividad en Alta Dimensión

- Nuestros vectores BoVW tienen  $k=500$  dimensiones.
- SVM está diseñado para funcionar en estos espacios de muchas características sin caer en la 'problemática de la dimensionalidad'.

# ¿Por Qué SVM es una Elección Ideal para Este Proyecto?

## 1. Efectividad en Alta Dimensión

- Nuestros vectores BoVW tienen  $k=500$  dimensiones.
- SVM está diseñado para funcionar en estos espacios de muchas características sin caer en la 'problemática de la dimensionalidad'.

## 2. Poder de los Kernels para Relaciones Complejas

- Usamos el **Kernel RBF (Función de Base Radial)**.
- Este kernel es extremadamente flexible y puede crear fronteras de decisión muy complejas y no lineales.
- Es perfecto para capturar los sutiles patrones en los histogramas que diferencian una estructura SLA de una que no lo es.

# ¿Por Qué SVM es una Elección Ideal para Este Proyecto?

## 1. Efectividad en Alta Dimensión

- Nuestros vectores BoVW tienen  $k=500$  dimensiones.
- SVM está diseñado para funcionar en estos espacios de muchas características sin caer en la 'problemática de la dimensionalidad'.

## 2. Poder de los Kernels para Relaciones Complejas

- Usamos el **Kernel RBF (Función de Base Radial)**.
- Este kernel es extremadamente flexible y puede crear fronteras de decisión muy complejas y no lineales.
- Es perfecto para capturar los sutiles patrones en los histogramas que diferencian una estructura SLA de una que no lo es.

## 3. Excelente Generalización

- El principio de maximizar el margen hace que el modelo sea inherentemente robusto contra el sobreajuste (overfitting).
- Esto significa que el modelo no solo aprende bien los datos de entrenamiento, sino que también predice correctamente datos nuevos, como demuestran nuestras curvas de aprendizaje.

# Resultados Comparativos

Detector+Descriptor	Normalización	SVM	RandomForest
		Accuracy	Accuracy
BRISK+BRISK	Global	0.9076	0.8739
	Local	<b>0.9916</b>	0.8908
<b>FAST+BRIEF</b>	Global	<b>0.9916</b>	0.9748
	Local	<b>0.9916</b>	0.9496
FAST+BRISK	Global	0.9580	0.8992
	Local	0.9664	0.9328
FAST+SIFT	Global	<b>0.9916</b>	0.9832
	Local	0.9832	0.9832
ORB+ORB	Global	0.9153	0.8559
	Local	0.8898	0.7966
SIFT+SIFT	Global	0.9412	0.8739
	Local	0.9580	0.8739

# Resultados Comparativos

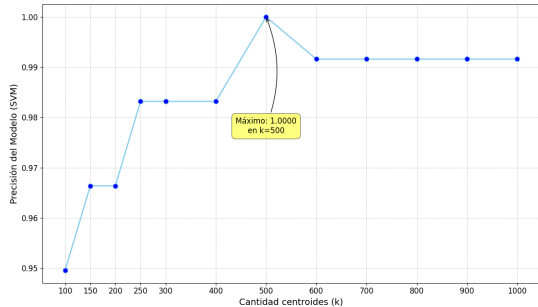
Detector+Descriptor	Normalización	SVM	RandomForest
		Accuracy	Accuracy
BRISK+BRISK	Global	0.9076	0.8739
	Local	<b>0.9916</b>	0.8908
<b>FAST+BRIEF</b>	Global	<b>0.9916</b>	0.9748
	Local	<b>0.9916</b>	0.9496
FAST+BRISK	Global	0.9580	0.8992
	Local	0.9664	0.9328
FAST+SIFT	Global	<b>0.9916</b>	0.9832
	Local	0.9832	0.9832
ORB+ORB	Global	0.9153	0.8559
	Local	0.8898	0.7966
SIFT+SIFT	Global	0.9412	0.8739
	Local	0.9580	0.8739

## Conclusión

La combinación **FAST+BRIEF con SVM** demostró ser una de las más precisas y la más eficiente computacionalmente.

# Optimización de k y Validación

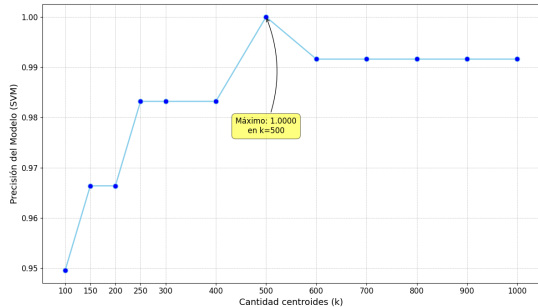
## Optimización del tamaño del vocabulario ( $k$ )



- El máximo rendimiento se alcanza con  **$k=500$** .
- Se usó **validación cruzada** estratificada de 5 particiones.
- Esto asegura que el resultado no es producto del azar.

# Optimización de k y Validación

## Optimización del tamaño del vocabulario (k)



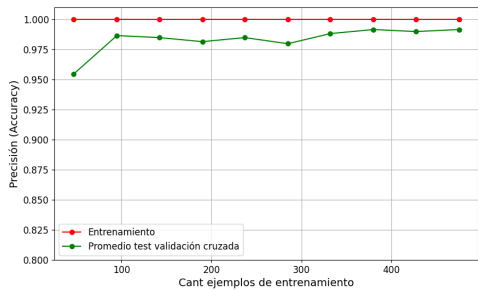
- El máximo rendimiento se alcanza con **k=500**.
- Se usó **validación cruzada** estratificada de 5 particiones.
- Esto asegura que el resultado no es producto del azar.

## Rendimiento Final del Modelo (FAST+BRIEF)

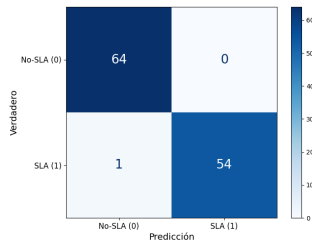
Precisión Promedio: **99.16 % ± 0.54 %**

# Métricas finales

## Curva de Aprendizaje

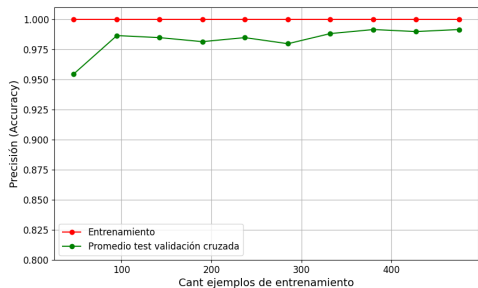


## Matriz de Confusión

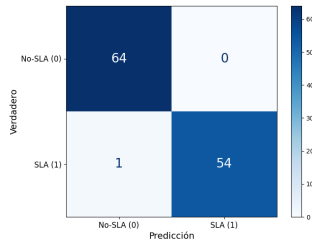


# Métricas finales

## Curva de Aprendizaje



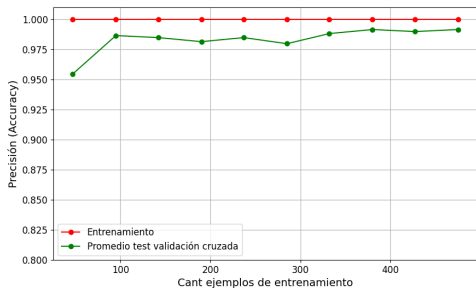
## Matriz de Confusión



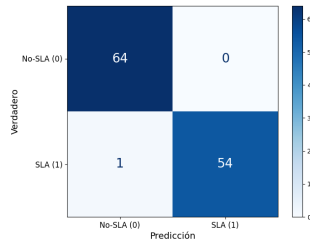
- Las curvas de entrenamiento y validación convergen a un valor alto y se mantienen juntas  $\implies$  **Buena generalización, sin sobreajuste.**

# Métricas finales

## Curva de Aprendizaje



## Matriz de Confusión



- Las curvas de entrenamiento y validación convergen a un valor alto y se mantienen juntas  $\implies$  **Buena generalización, sin sobreajuste.**
- La matriz de confusión ilustra el rendimiento casi perfecto, con un único error.

# GUI desarrollada

Para encapsular la solución, se desarrolló una aplicación de escritorio con Tkinter que permite usar el modelo entrenado.



## Funcionalidades:

- Seleccionar el modelo a utilizar.
- Analizar una única secuencia de ARN.
- Procesar un lote de secuencias desde un archivo.

# Conclusiones y Trabajo Futuro

## Conclusiones Clave

- Se construyó un sistema híbrido y reproducible con una precisión superior al **99 %**.
- La **re-conceptualización de datos** (secuencias → imágenes) fue una estrategia exitosa.
- El **preprocesamiento** (ecualización) y la selección modular de herramientas fueron fundamentales.

# Conclusiones y Trabajo Futuro

## Conclusiones Clave

- Se construyó un sistema híbrido y reproducible con una precisión superior al **99 %**.
- La **re-conceptualización de datos** (secuencias → imágenes) fue una estrategia exitosa.
- El **preprocesamiento** (ecualización) y la selección modular de herramientas fueron fundamentales.

## Trabajo Futuro

- Extender el enfoque para detectar otros motivos funcionales en ARN.
- Entrenar el modelo con datos sintéticos para reducir posibles sesgos.
- Desarrollar una herramienta que analice genomas completos en busca de estructuras SLA.

# ¡Muchas Gracias!

## Preguntas